

異方性配筋スラブの終局耐力について

京都大学 正員 小柳 治
 京都大学 学生員 ○児島 孝之
 京都大学 学生員 平沢 征夫

1. まえがき

昨年1月引続き、コンクリートスラブの終局耐力を求めることに、通常の橋梁スラブのように直交方向の配筋量をかえて小型モルタル模型スラブを作成し、スラブ厚、鉄筋量、支持条件、載荷面積をかえて合計24種48枚の供試体について、截荷試験を行ない、スラブの曲げならびに押し抜きせん断強度について考察した結果について報告する。

2. 実験計画

実験はスラブ厚、鉄筋量、支持条件、載荷面積の4要因について
 表-1 実験計画表に示す水準とり上げて行なった。

3. 供試体と実験方法

材料 セメントは普通ポルトランドセメントを使用し、細骨材には、野洲川産川砂を用いた。鉄筋には普通アエン引き鉄線 No.14 (公称径2.2mm) およびNo.8 (公称径4mm) を機械伸線したものを利用した。

供試体作成 供試体は大きさをすべて45×45cmの正方形とし、板厚は3cmと5cm、鉄筋量は主方向を0.6%と1.2%とし、これに直角方向にはそれらの半分の量をもつ直交異方性とした。

試験方法 載荷はすべて床版中央に静的載荷を行なった。測定は中央変形量をタイマーレーザー(1/100mm)で測定し、ひびわれ荷重、終局荷重を求めた。

4. 実験結果と考察

中央変形量 図-1に荷重～中央たわみ曲線の結果を示す。この結果から

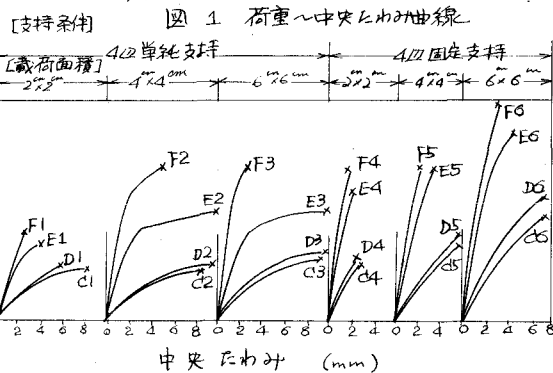
1) 同一支持条件、同一載荷面積で試験したスラブでは、同一荷重に対するたわみはC,D,E,Fの順に小さく、すなはち、供試体の板厚が大きいほど、鉄筋比が大きいほどたわみは小さくなっている。
 終局荷重直前のたわみについてもほぼ同様である。

2) 終局荷重直前の最終たわみは破壊形式と関連し、同型の床版について、同一支持条件の場合、載荷面積が大きいほど大きなたわみを示し、固定支持の方より単純支持の方が大きなたわみを示す。

破壊形式 破壊は曲げ、圧縮せん断、斜張せん断、押し抜きせん断の4種類であるが、大別すると曲げ破壊とせん断破壊に分けられる。破壊形式と諸要因との関連性を考察してみると、一般にせん断破壊は、有効高さが大きくなるほど、支持条件が固定度式増すほど、鉄筋比が大きくなるほど、載荷面積が小さくなるほど生じやすくなる。

表-1 実験計画表

種類	板厚	3 cm		5 cm	
		面積比	0.6%	1.2%	0.6%
4边	2x2	C1	D1	E1	F1
	4x4	C2	D2	E2	F2
	6x6	C3	D3	E3	F3
4角	2x2	C4	D4	E4	F4
	4x4	C5	D5	E5	F5
	6x6	C6	D6	E6	F6



終局強度 本実験で行なった異方性スラブと昨年行なった同様な等方性スラブの実験結果に対して主として、従来の終局強度推定式の適合性を検討した結果について述べる。

曲げ破壊に対する終局強度算定には降伏線理論がよく適合する。図-2は実験値(V_{test})と降伏線理論を用いて求めた計算値(V_{flex})との比を、載荷面積1辺の長さ(r)と有効高さ(d)の比(r/d)で示したものである。本実験の範囲の r/d ではせん断破壊を起したスラブが多く、あまり適合しない。せん断破壊を生ずる場合の終局強度に対しては、Moe¹⁾の実験式がある。

$$V_u = \frac{V_u}{bd} = [15(1 - 0.075 \frac{r}{d}) - 5.25 \phi] \sqrt{f_c} \quad \text{ここで } V_u: \text{終局せん断応力 (psi)}$$

$(\text{psi}) \qquad V_u: \text{終局せん断耐力}$

図-3は、 V_{test}/V_u で上式の適合性を検討したものである。
 $\frac{r}{d} < 1$ の範囲では Moe 式は安全側に大きくはずれる。

b : 載荷面積辺長

$\phi_0: V_{test}/V_{flex}, f_c: \text{コンクリート圧縮強度 (psi)}$

これは、Moe が図4に示す直線で $\frac{V_{test}}{V_{flex}}$ 実験値を近似したためである。したが

って、 $\frac{r}{d} < 1$ の部分にも適合する式としては、直線ではなく、一般に双曲線による近似を考ふ方がより。したが

つて次式を仮定でき、一般に

$$V_u' = [A(B \frac{d}{r} + C) - D \phi_0] \sqrt{f_{cb}} \quad (\text{kg/cm}^2)$$

A, B, C, D は定数、 f_{cb} : コンクリート圧縮強度 (kg/cm^2) とするとことができる。

簡単のため $B = C = 1$ と仮定し、実験結果をもとにして、A, D を定めると、

$$V_u' = \frac{V_{cal}}{bd}$$

$$= [2.3(1 + \phi_0) - 1.4 \phi_0] \sqrt{f_{cb}} \quad (\text{kg/cm}^2)$$

が得られる。図4中に $\phi_0 = 1.0$ および 0.3

0.3の場合の曲線を示す。上式に $\phi_0 = \frac{V_{cal}}{V_{flex}}$ を代入して変形すると

$$V_u' = \frac{V_{cal}}{bd} = \frac{2.3(1 + \phi_0) \sqrt{f_{cb}}}{1 + 1.4 \frac{bd \sqrt{f_{cb}}}{V_{flex}}}$$

(kg·cm²単位) が得られる。

図-5は上式の適合性を検討したものである。

[参考文献]

- J. Moe, "Shear Strength of Reinforced Concrete Slabs and Footings under Concentrated Loads", P.C.A. April, 1961

図-2 Johansen の式の適合性

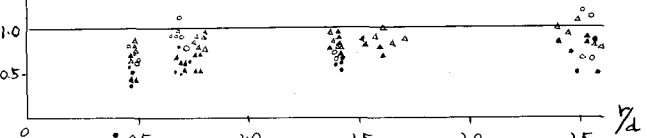


図-3 Moe の式の適合性

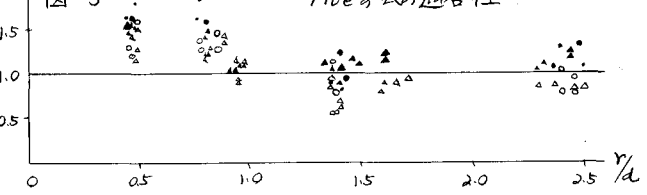


図-4

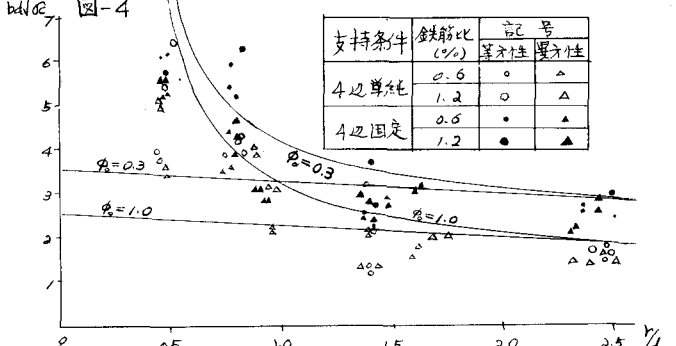


図-5 提案式の適合性

